

Méthodes mises à l'échelle pour la reconstruction tomographique en coordonnées cylindriques

Guillaume Mestdagh

Département de génie électrique Polytechnique Montréal

Direction : Yves Goussard et Dominique Orban

29 août 2019

Introduction

Tomographie à rayons X



Tomographe médical

By daveynin from United States - New UPMC EastUploaded by crazypaco, CC BY 2.0,
<https://commons.wikimedia.org/w/index.php?curid=20326407>

Objectif

Déterminer la disposition intérieure d'un patient à partir de mesures de transmission

Axes de recherche actuels

- Diminution des doses de rayons X
- Réduction du bruit sur les images
- Perfectionnement des méthodes statistiques

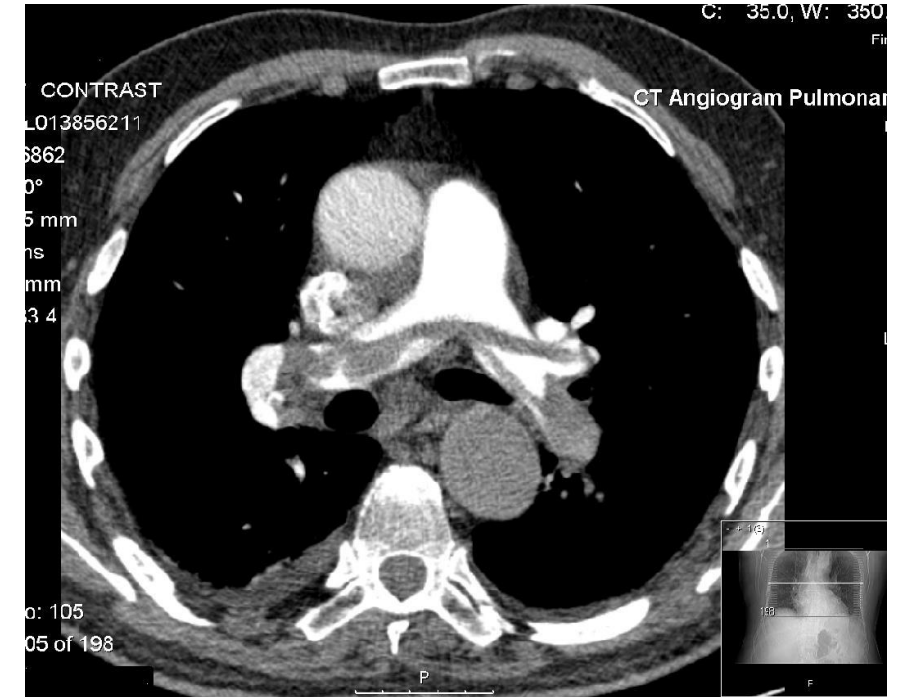


Image tomographique

(https://commons.wikimedia.org/wiki/File:SADDLE_PE.JPG)

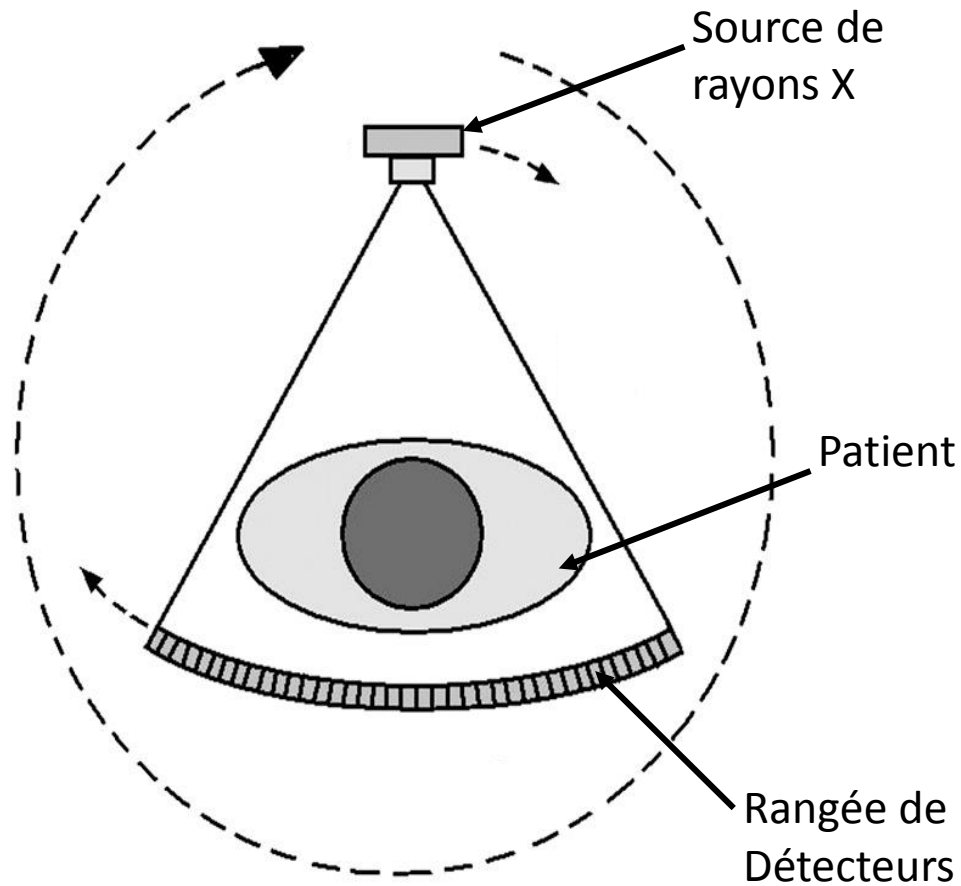
Introduction

Sommaire

- Problème de reconstruction d'image
- Algorithmes d'optimisation mis à l'échelle
- Résultats numériques

1 Problème de reconstruction d'image

Reconstruction tomographique



Géométrie du tomographe (Goldman, 2007)

But

Reconstruire une image à partir de mesures sous différents angles

Données disponibles

Atténuation des rayons X pour chaque angle et pour chaque détecteur

Image reconstruite

Coefficient d'atténuation en chaque point du domaine.

1 Problème de reconstruction d'image

Formulation du problème

Modèle direct

Pixels de l'image
(coefficients d'atténuation)

$$b = Ax + \text{bruit}$$

Données mesurées

Matrice du système

Problème inverse (Bouman & Sauer, 1993)

Terme de moindres carrés

$$\min_{x \geq 0} \frac{1}{2} \|Ax - b\|_v^2 + R(x)$$

Contraintes de bornes

Matrice de pondération diagonale

Pénalisation sur les différences entre pixels voisins

Caractéristiques du problème

- Grande quantité de données et d'inconnues
- Empreinte mémoire importante
- Contraintes de bornes

2 Mise à l'échelle

Principaux algorithmes

Algorithmes couramment utilisés en imagerie

Méthodes de gradient projeté

- Gradient projeté accéléré
(Nesterov, 1983)
- Gradient projeté spectral
(Birgin et Martinez, 2002)

Méthodes avec séparation du problème

- Lagrangien augmenté
(Hestenes, 1969)
- Algorithme primal-dual
(Chambolle et Pock, 2010)

Méthodes spécifiques

- Sous-ensembles ordonnés
(Erdoğan et Fessler, 1999)
- Descente par coordonnée
(Sauer et Bouman, 1993)

Algorithmes peu utilisés en imagerie

Méthodes de directions projetées

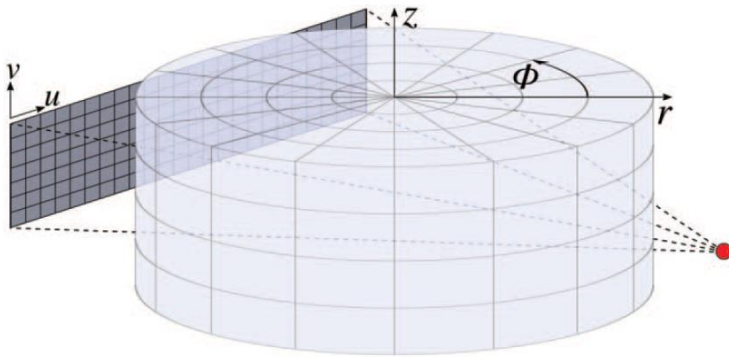
- Méthode de Newton projetée avec recherche linéaire
(Bertsekas, 1982)
- Méthode de Newton avec région de confiance
(Lin et Moré, 1999)
- Méthode de L-BFGS projetée
(Kim, Sra et Dhillon, 2010)
- L-BFGS-B
(Byrd, Lu, Nocedal et Zhu, 1995)

Méthodes de points intérieurs

- Ipopt
(Wächter et Biegler, 2005)
- PDCO
(Chen, Donoho et Saunders, 2001)

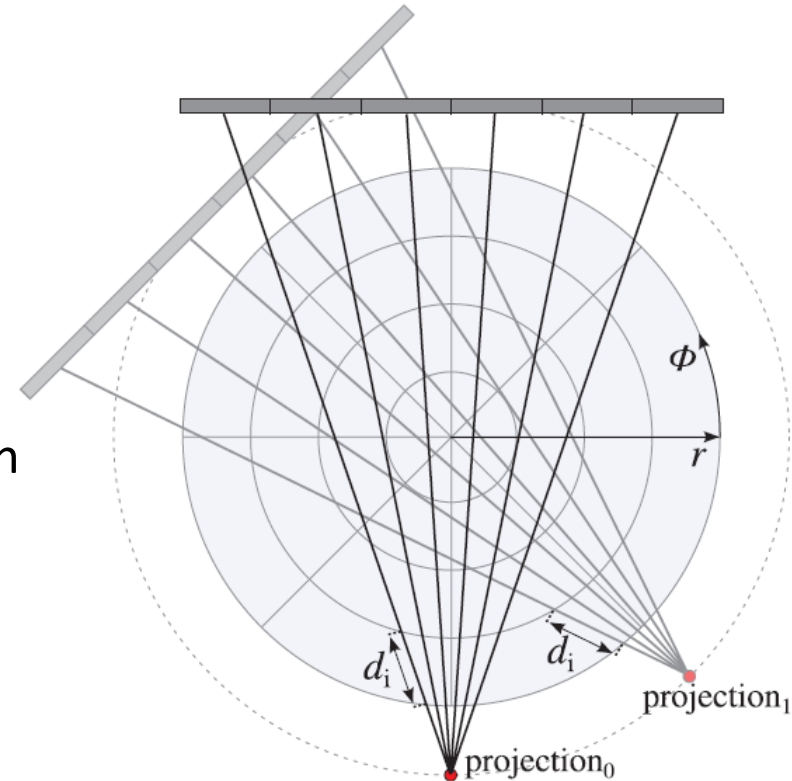
1 Problème de reconstruction d'image

Coordonnées cylindriques



Discretisation en coordonnées cylindriques
(Thibaudeau, Leroux, Fontaine, Lecomte, 2013)

Discretisation
invariante par rotation
d'un angle $\delta\phi$



Avantage

Invariance par rotation
→ Matrice du système structurée

Inconvénient

Pixels de tailles différentes
→ Problème mal conditionné

1 Problème de reconstruction d'image

Mise à l'échelle du problème (Golkar, 2013)

Matrice du système circulante par blocs

$$A^T A = F^* \begin{pmatrix} \hat{A}_1 & & \\ & \ddots & \\ & & \hat{A}_{n_b} \end{pmatrix} F$$

Transformée de Fourier discrète par blocs

Bloc dense

Taille de la matrice du système (Thibaudeau, 2013)

Pour une tranche de 512×512 pixels

Coordonnées cartésiennes 2765 MB

Coordonnées cylindriques 5.5 MB

Matrice de mise à l'échelle circulante par blocs

$$C = F^* \begin{pmatrix} D_1 & & \\ & \ddots & \\ & & D_{n_b} \end{pmatrix} F$$

Bloc diagonal

Tel que $C^T (A^T V A + \nabla^2 R(x)) C$ est bien conditionnée

Un produit par C coûte $O(n \log n)$ opérations
(n est la taille de x)

Objectifs

- Exploiter la mise à l'échelle pour accélérer la résolution du problème
- Adopter une stratégie simple qui s'adapte à plusieurs algorithmes
- Limiter les coûts supplémentaires liés aux produits par \mathcal{C}

Précédemment dans le projet (McLaughlin, 2017)

Changement de variable

$$\mathbf{x} = \mathbf{C}\mathbf{u}$$

Variable dans l'espace d'origine

Variable dans l'espace transformé

Problème dans l'espace transformé

$$\min_{\mathbf{C}\mathbf{u} \geq 0} \frac{1}{2} \|\mathbf{A}\mathbf{C}\mathbf{u} - \mathbf{b}\|^2 + R(\mathbf{C}\mathbf{u})$$

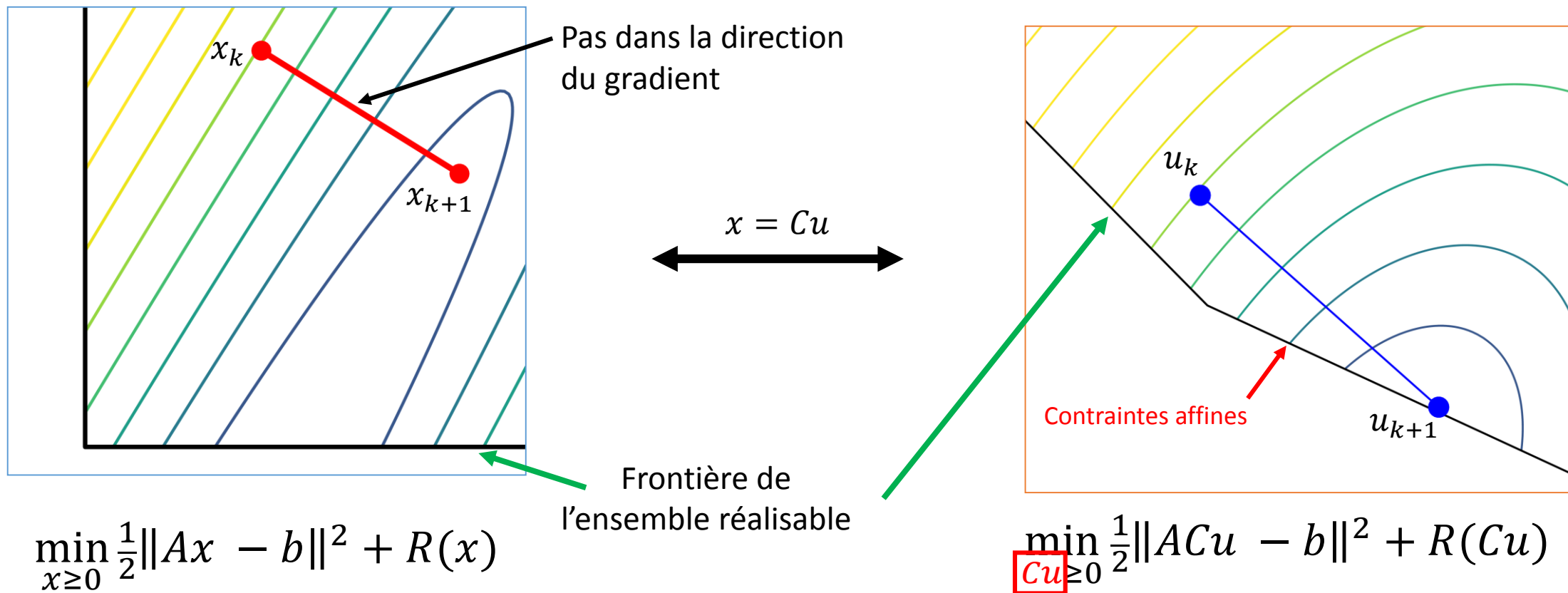
Contraintes affines

Caractéristiques

- Meilleur conditionnement
- Projections orthogonales calculées par une procédure itérative

2 Mise à l'échelle

Précédemment dans le projet (McLaughlin, 2017)



Espace d'origine

- 😊 Projections peu coûteuses
- ☹️ Mauvais conditionnement

Espace transformé

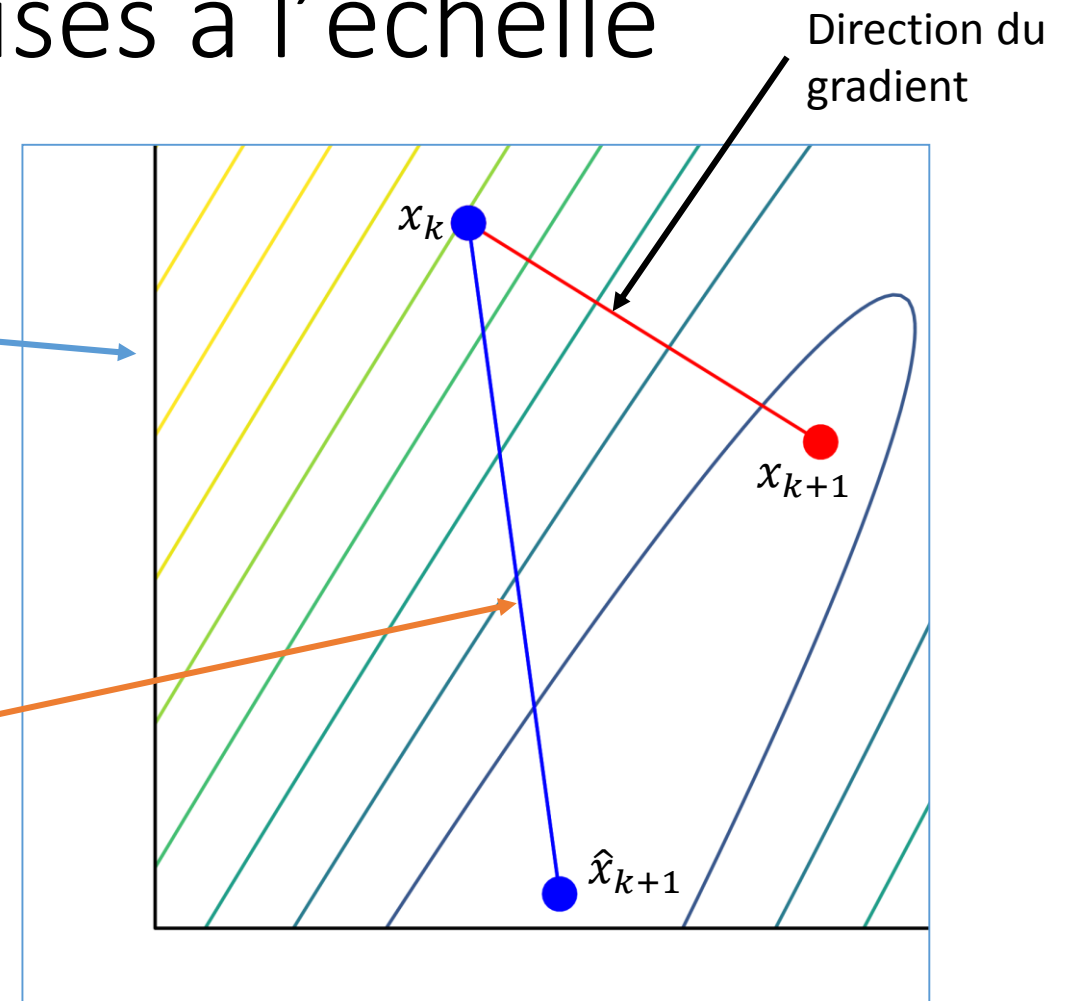
- ☹️ Projections coûteuses et inexactes
- 😊 Bon conditionnement

Directions de descente mises à l'échelle

Problème d'origine
avec contraintes de bornes
(pas de changement de variable)

Directions de descente
issues de l'espace transformé

$$d = -CC^T \nabla f(x)$$



→ Quels éléments de l'espace transformé peut-on utiliser tout en restant compatible avec les contraintes de bornes ?

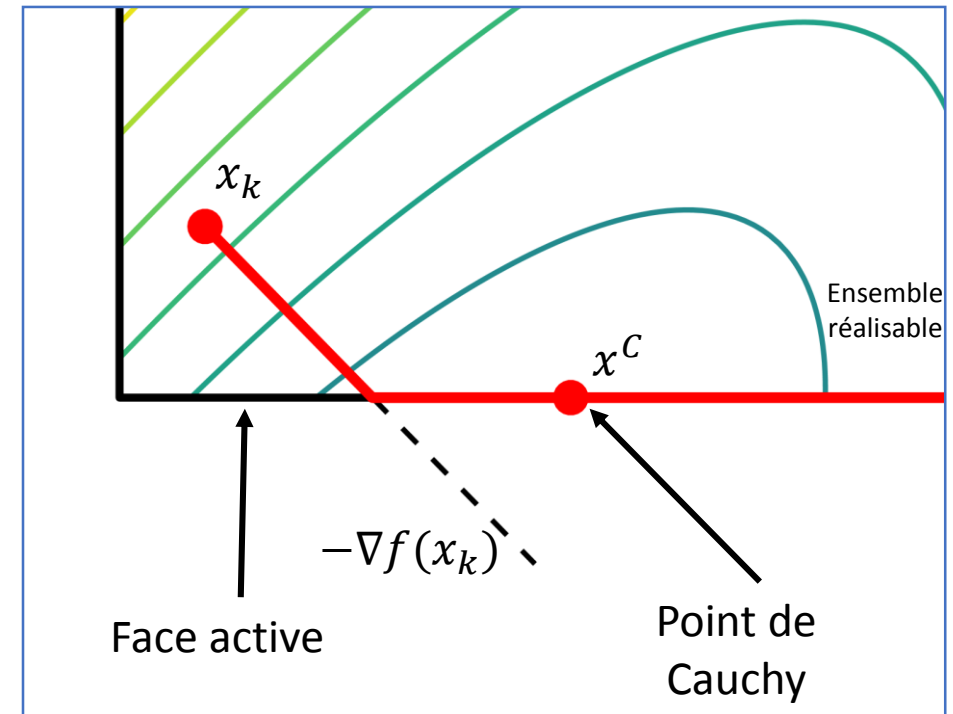
Méthodes de directions projetées

But

Deviner sur quelle face de l'ensemble réalisable se trouve la solution du problème.

Principales étapes

- Identifier une face active F
- Résoudre un sous-problème quadratique sans contraintes dans la face active F
- Identifier le nouvel itéré



2 Mise à l'échelle

Gradient projeté

Problème

Comment s'assurer que la direction mise à l'échelle reste une direction de descente quand on la projette ?

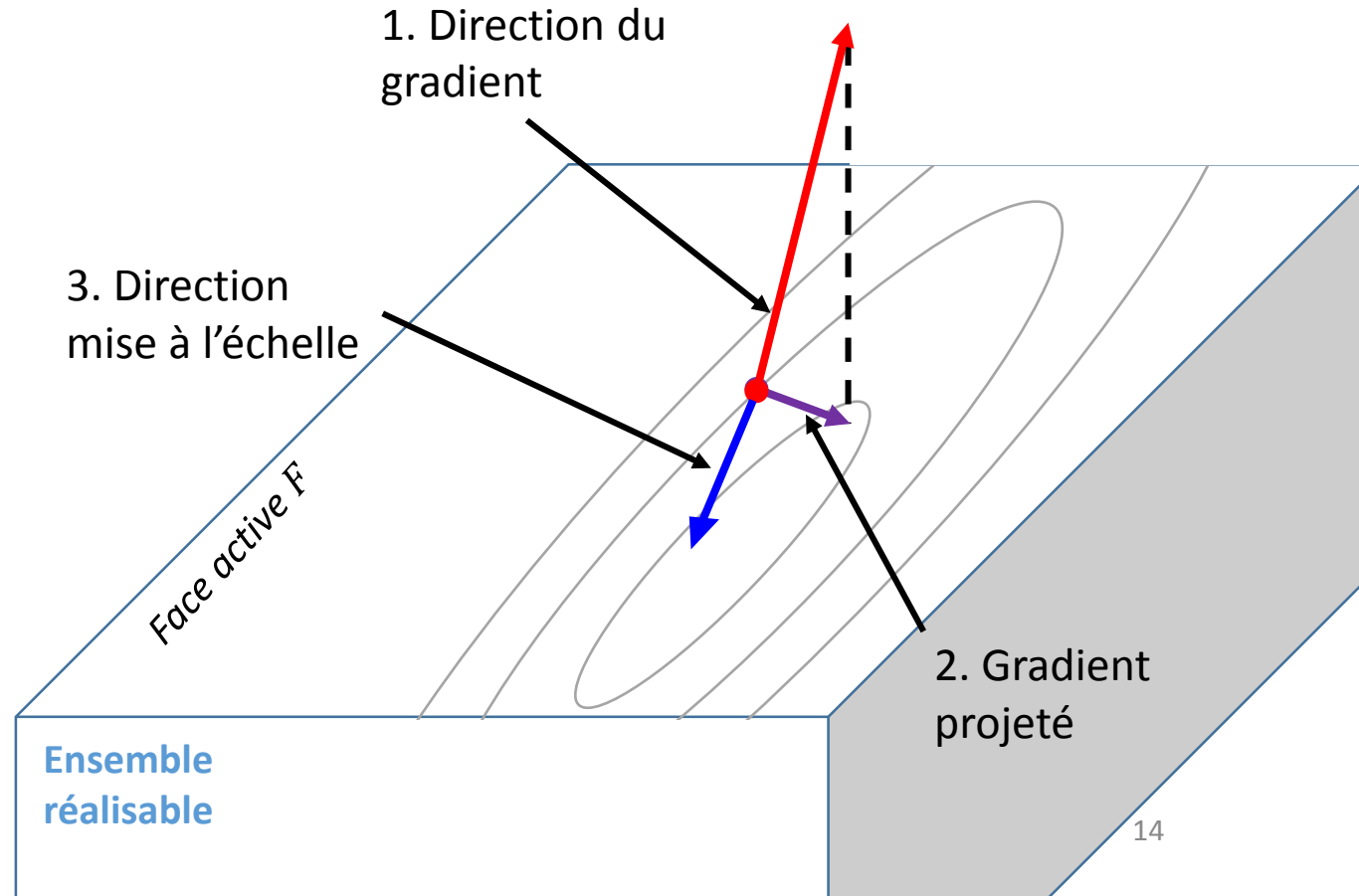
Solution

Appliquer la mise à l'échelle à l'intérieur de la face active (Bertsekas, 1982)

→ On obtient une direction de descente

Définie positive

$$d_{\text{proj}} = \begin{pmatrix} d_F \\ d_{F^\perp} \end{pmatrix} = - \begin{pmatrix} [CC^T]_{FF} & 0 \\ 0 & 0 \end{pmatrix} \nabla f(x)$$



2 Mise à l'échelle

Directions de gradient conjugué

Sous-problème quadratique
restreint à la face active F

$$\min_{x \in F} \frac{1}{2} x^T B x + x^T g$$

Gradient conjugué (Hestenes, 1952)
Génération de directions conjuguées
par rapport à la matrice B

$$p_k^T [B_{FF}] p_{k+1} = 0$$

Variables réduites
de dimension $\dim F$

Sans mise à l'échelle

$$p_{k+1} = r_{k+1} + \beta_k p_k$$

Résidu réduit

Avec β_k tel que $p_k^T [B_{FF}] p_{k+1} = 0$

Avec mise à l'échelle

$$p_{k+1} = [C C^T]_{FF} r_{k+1} + \beta_k p_k$$

Avec β_k tel que $p_k^T [B_{FF}] p_{k+1} = 0$

Équivalent à un préconditionnement
à l'aide de $[C C^T]_{FF}$

2 Mise à l'échelle

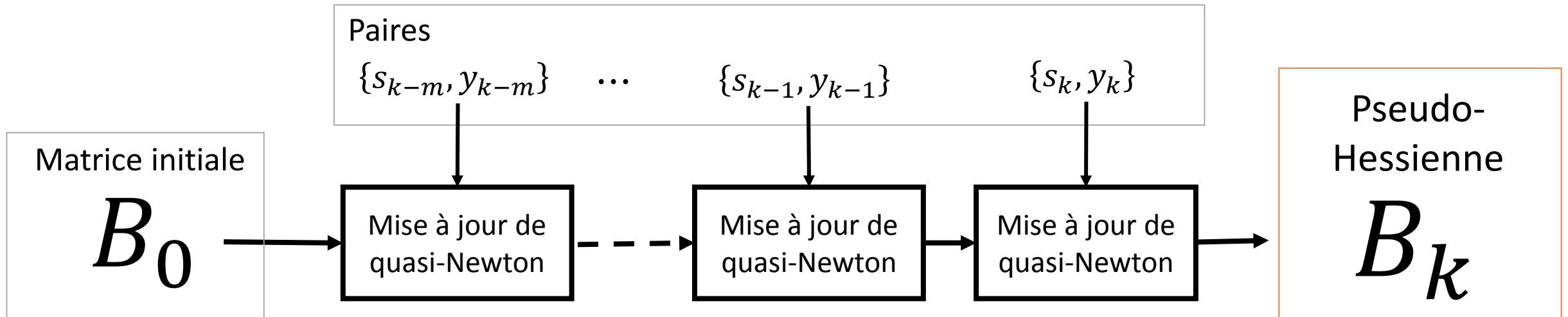
Matrice de quasi-Newton à mémoire limitée

Matrice de quasi-Newton

- On part d'une matrice initiale B_0
- On met à jour la matrice à l'aide des paires $\{s_k, y_k\}$ enregistrées en mémoire

Notations

$$\begin{cases} s_k &= x_{k+1} - x_k \\ y_k &= \nabla f(x_{k+1}) - \nabla f(x_k) \end{cases}$$



Matrice de quasi-Newton à mémoire limitée

Choix de la matrice initiale

Espace transformé

$$\bar{B}_0 = \bar{\theta} I$$

$$\bar{\theta} = \frac{\bar{y}_k^T \bar{y}_k}{\bar{s}_k^T \bar{y}_k}$$



Espace d'origine

$$B_0 = \theta (C C^T)^{-1}$$

$$\theta = \frac{y_k^T C C^T y_k}{s_k^T y_k}$$

3 Résultats numériques

Essais sur un problème de reconstruction 2D

Problème de reconstruction

$$\min_{x \geq 0} \frac{1}{2} \|Ax - b\|_V^2 + \lambda \phi(x)$$

où $\phi(x) = \sum_i \sqrt{\delta^2 + [Kx]_i^2}$ et $\delta > 0$ (pénalisation L_2L_1)

↙
Matrice de
différences finies

Taille du résidu

779 520 valeurs

Taille de l'inconnue

1 tranche de 262 160 pixels

Paramètres de régularisation

$\lambda = 10^{-4}, \delta = 10^{-1}$

Comparaison de 3 approches

- Pas de mise à l'échelle
- Changement de variable (problème avec contraintes affines)
- Directions mises à l'échelle (approche utilisée dans cette maîtrise)

3 algorithmes utilisés

- L-BFGS-B (Quasi-Newton)
- TRON (Newton à région de confiance)
- SPG (variante du gradient projeté)

L'algorithme L-BFGS-B

Caractéristiques

- Méthode de quasi-Newton
- Utilise la formule L-BFGS compacte
- Point de Cauchy inexact
- Résolution du sous-problème par gradient conjugué
- Écrit en Matlab
([github.com:optimizers/NLPLab](https://github.com/optimizers/NLPLab))

L-BFGS pour problèmes à contraintes de bornes (Byrd, Lu, Nocedal et Zhu, 1995)

Pour chaque itération

- Calculer un point de Cauchy le long du chemin projeté

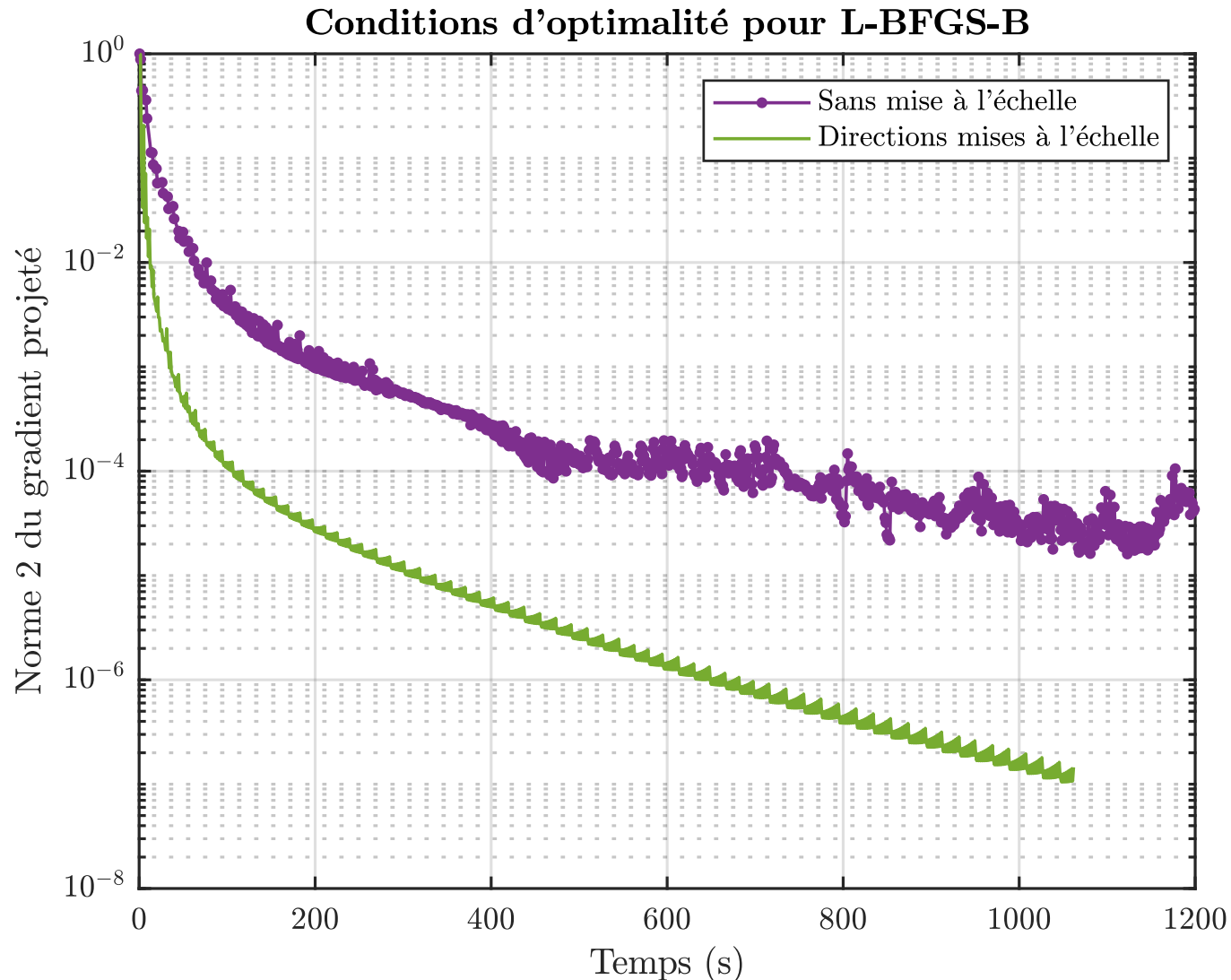
$$x(t) = \text{Proj} \left(x_k - t \begin{pmatrix} [CC^T]_{FF} & 0 \\ 0 & 0 \end{pmatrix} \nabla f(x) \right)$$

avec $t > 0$, et identifier la face active F

- Résoudre le sous-problème quadratique dans la face active F par gradient conjugué préconditionné
- Trouver l'itéré suivant x_{k+1} par une recherche linéaire de Wolfe
- Mettre à jour les données de l'opérateur L-BFGS

3 Résultats numériques

L'algorithme L-BFGS-B



Causes possibles des piètres performances

- Gestion des contraintes (recherche linéaire, etc.)
- Approximation de la Hessienne
- Opération L-BFGS difficiles à vectoriser

CPU: Intel® Xeon® CPU E5-2637 v4 @ 3.50GHz, 32GB RAM

L'algorithme TRON

Principales caractéristiques

- Méthode de Newton
- Résolution du sous-problème par gradient conjugué
- Utilisation de recherches projetées
- Écrit en Matlab par Orban et Friedlander ([github.com:optimizers/NLPLab](https://github.com/optimizers/NLPLab))
- Variante pour contraintes affines écrite par McLaughlin (2017)

Méthode de Newton à région de confiance

(Lin et Moré, 1999)

Pour chaque itération

- Calculer un point de Cauchy le long du chemin projeté

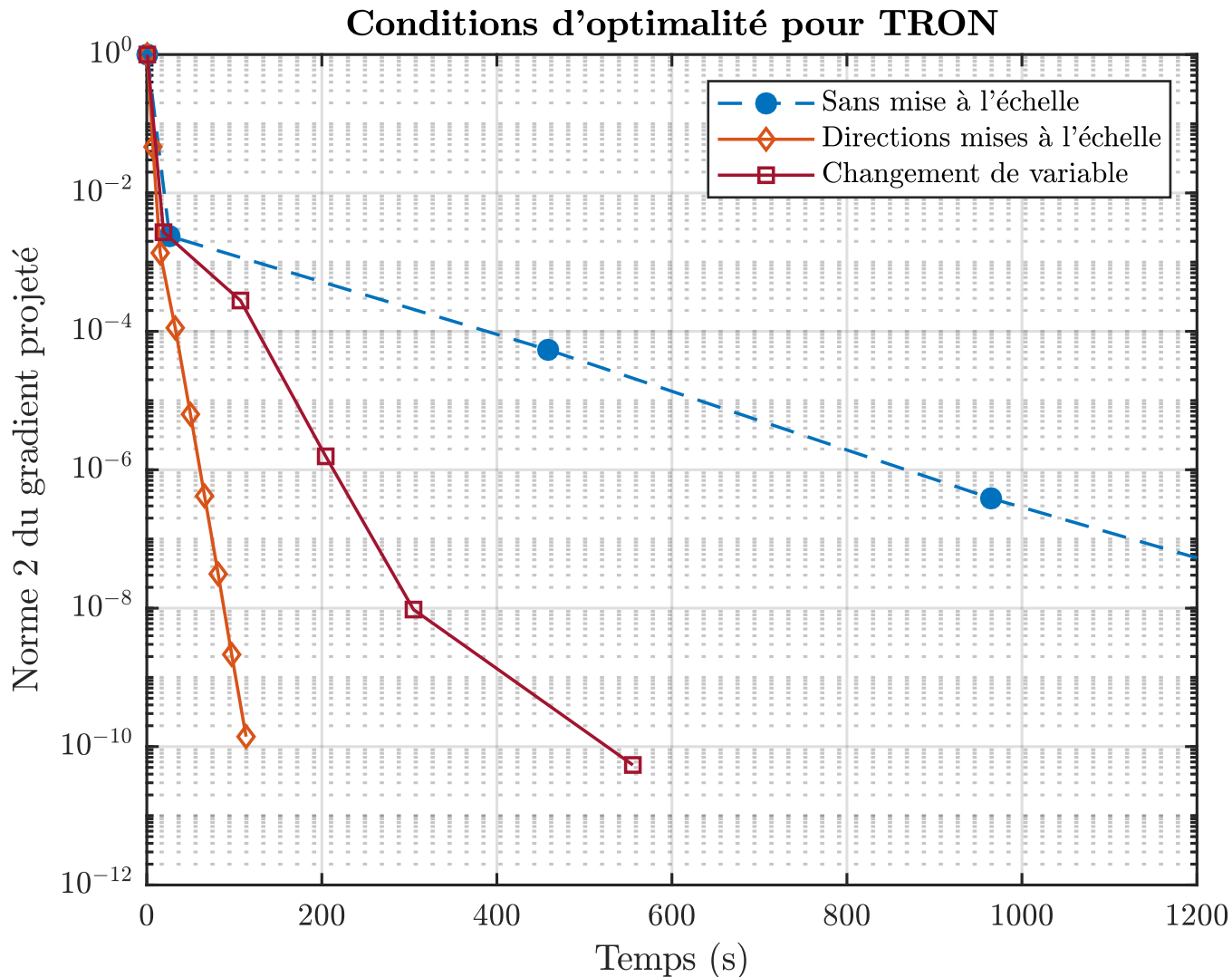
$$x(t) = \text{Proj} \left(x_k - t \begin{pmatrix} [CC^T]_{FF} & 0 \\ 0 & 0 \end{pmatrix} \nabla f(x) \right)$$

avec $t > 0$, et identifier la face active F

- Résoudre le sous-problème quadratique dans la face active F par gradient conjugué préconditionné
- Accepter ou refuser la solution du sous-problème comme itéré suivant
- Mettre à jour le rayon de la région de confiance

3 Résultats numériques

L'algorithme TRON



Part du temps de calcul associée aux produits hessienne-vecteur

Sans mise à l'échelle	98 %
Changement de variable	61 %
Directions mises à l'échelle	98 %

→ Gain de temps sur les projections

CPU: Intel® Xeon® CPU E5-2637 v4 @ 3.50GHz, 32GB RAM

L'algorithme SPG

Principales caractéristiques

- Méthode de premier ordre
- Longueur de pas issue du gradient spectral de Barzilaï et Borwein (1988)
- Recherche linéaire
- Écrit en Matlab
([github.com:optimizers/NLPLab](https://github.com/optimizers/NLPLab))
- Variante pour contraintes affines écrite par McLaughlin (2017)

Méthode du gradient spectral projeté (Birgin et Martinez, 2002)

Pour chaque itération

- Calculer la longueur de pas

$$\theta_k = \frac{y_k^T C C^T y_k}{s_k^T y_k}$$

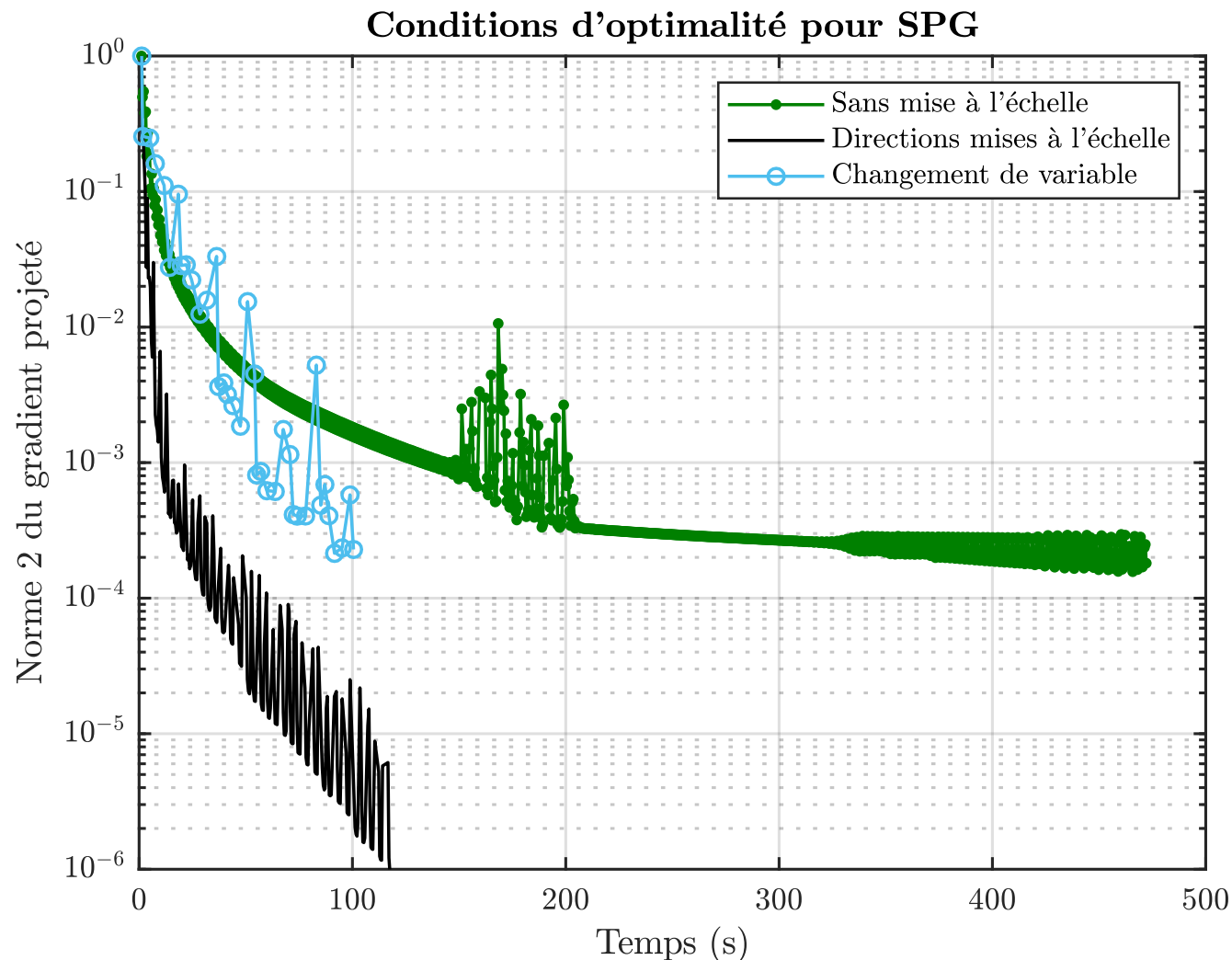
- Calculer un pas de gradient projeté

$$\tilde{x}_k = \text{Proj} \left(x_k - \theta_k \begin{pmatrix} [C C^T]_{FF} & 0 \\ 0 & 0 \end{pmatrix} \nabla f(x) \right)$$

- Calculer $x_{k+1} = x_k + \lambda_k(\tilde{x}_k - x_k)$ par recherche linéaire

3 Résultats numériques

L'algorithme SPG



Part du temps de calcul associée aux produits hessienne-vecteur

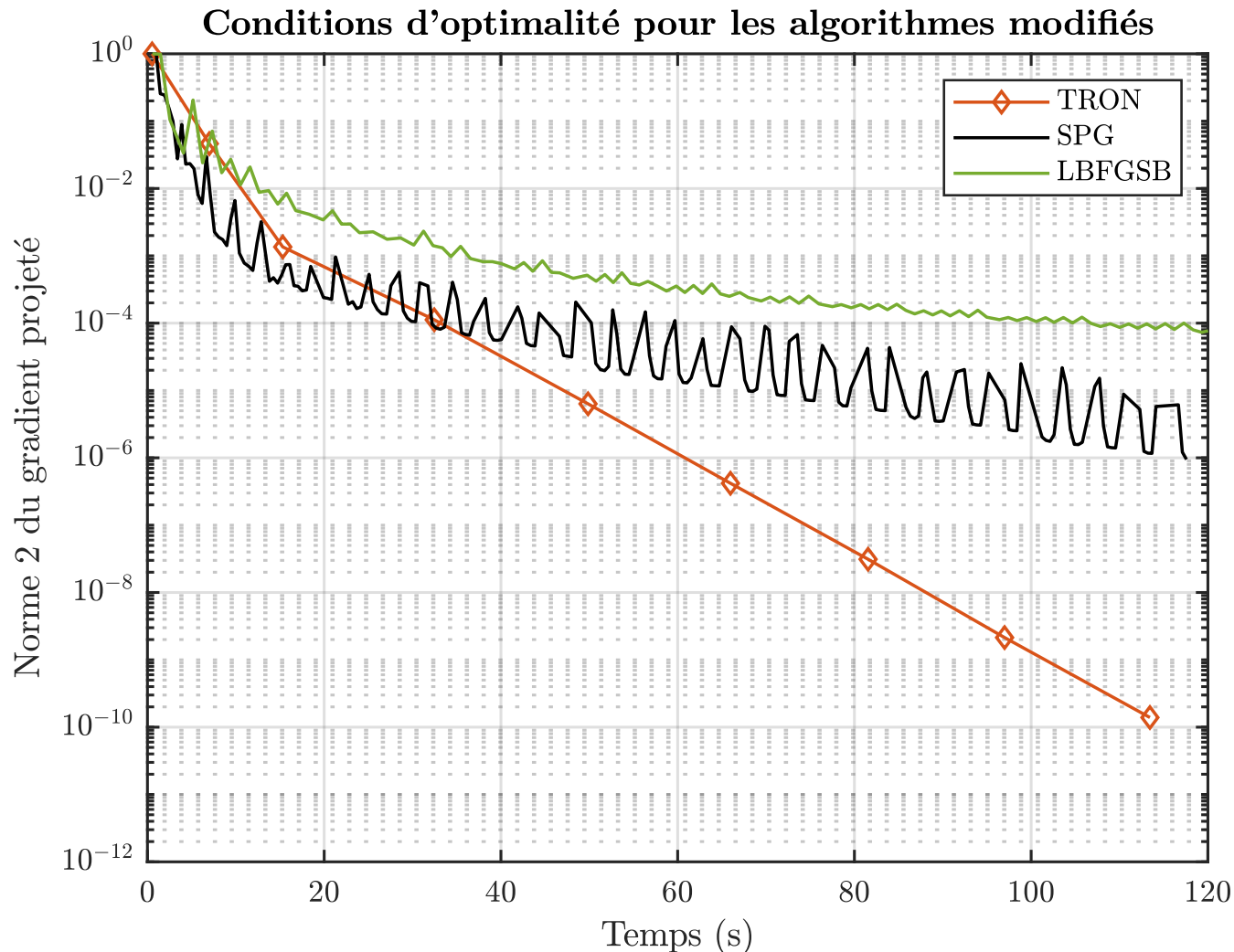
Sans mise à l'échelle	99 %
Changement de variable	18 %
Directions mises à l'échelle	98 %

→ Gain de temps sur les projections

CPU: Intel® Xeon® CPU E5-2637 v4 @ 3.50GHz, 32GB RAM

3 Résultats numériques

Comparaison des trois algorithmes mis à l'échelle



Meilleures méthodes

Tolérance large
Tolérance stricte

SPG
TRON

CPU: Intel® Xeon® CPU E5-2637 v4 @ 3.50GHz, 32GB RAM

Conclusion

- Développement d'une stratégie de mise à l'échelle des algorithmes de directions projetées.
- Mise en œuvre de la stratégie sur L-BFGS-B, TRON et SPG (Production d'un L-BFGS-B avec gradient conjugué en matlab).
- Résultats numériques prouvant la supériorité de la stratégie par rapport au changement de variable.
- Faisabilité de la reconstruction en coordonnées cylindriques prouvée
- Stratégie adaptable à n'importe quel algorithme pour problème à contraintes de bornes.

Améliorations futures

Appliquer la mise à l'échelle pour résoudre des problèmes spécifiques en tomographie à rayons X.

Références

- Bouman, C., & Sauer, K. (1993). A generalized Gaussian image model for edge-preserving MAP estimation. *IEEE Transactions on image processing*, 2(3), 296-310.
- Thibaut, C., Leroux, J. D., Fontaine, R., & Lecomte, R. (2013). Fully 3D iterative CT reconstruction using polar coordinates. *Medical physics*, 40(11).
- Lin, C. J., & Moré, J. J. (1999). Newton's method for large bound-constrained optimization problems. *SIAM Journal on Optimization*, 9(4), 1100-1127.
- Birgin, E. G., & Martínez, J. M. (2002). Large-scale active-set box-constrained optimization method with spectral projected gradients. *Computational Optimization and Applications*, 23(1), 101-125.
- Byrd, R. H., Lu, P., Nocedal, J., & Zhu, C. (1995). A limited memory algorithm for bound constrained optimization. *SIAM Journal on Scientific Computing*, 16(5), 1190-1208.
- Bertsekas, D. P. (1982). Projected Newton methods for optimization problems with simple constraints. *SIAM Journal on control and Optimization*, 20(2), 221-246.
- McLaughlin, M. (2017). *Méthodes sans factorisation pour la tomographie à rayons-X en coordonnées cylindriques*(Master's thesis, Ecole Polytechnique, Montreal (Canada)).

Merci de votre attention !